

熊本大学工学部

八代工業高等専門学校

正員 ○秋吉 卓

正員 渕田邦彦

1. まえがき 基礎構造物の動特性については、Lysmerらの伝播境界^{1),2)}の導入によって、多くの解析が可能となり、かつその成果も豊富である。一方、定常調和振動における履歴非線形性は等価化されるとさは、单なるばねとダンパ・シエポットに置き換えられるが、通常の有限要素解法において応力-歪関係を等価化することはそれほど容易ではない。そこで本研究では、川井の提案したRBS要素³⁾を用いて、基礎構造物の複素ばね剛性を求める検討を行なってみた。このRBSモデルでは、応力-歪関係が極めて単純であり、ばねは剛体要素間の接触面にしか存在しないので、非線形・破壊の取扱いに適しているようである。

2. 解析手法 通常の有限要素法と同様のエネルギー理論より要素間の剛性マトリックス [K]、および各要素重心の質量マトリックス [M] が導かれ、同様の式式化がなされるが、ここでは省略する(文獻3)参照)。このとき FIG.1 のような系の運動方程式は、次式のように書かれる。

$$[M]\{\ddot{X}\} + [K]\{X\} = \{F\}_L + \{F\}_R \quad \cdots \cdots \cdots (1)$$

ここでは、2次元平面モデル(FIG.1)を考えているので、 $\{X\}$ は水平・上下・回転変位に関するベクトルであり、 $\{F\}$ は外力ベクトルである。さらに $\{F\}_L, \{F\}_R$ はモデル地盤の左右伝播境界の境界力であるが、境界要素の幅みが小さいときは近似的に、水平・上下・回転境界力 $\{\bar{X}\}_B, \{\bar{Y}\}_B, \{\bar{M}\}_B$ の間の連成は無視され、定常調和振動時は次式の形に書き表わされる。

$$\begin{aligned} \{\bar{X}\}_B &= [D]_x [\alpha]_x [H]_x [\alpha]_x^T [D]_x \cdot \{u\}_B \\ \{\bar{Y}\}_B &= [D]_y [\alpha]_y [H]_y [\alpha]_y^T [D]_y \cdot \{v\}_B \\ \{\bar{M}\}_B &= [D]_M [\alpha]_M [H]_M [\alpha]_M^T [D]_M \cdot \{\phi\}_B \end{aligned} \quad \cdots \cdots \cdots (2)$$

ただし、 $[D], [\alpha], [H]$ は各々、境界の剛性マトリックス、モーダルマトリックスおよび波数マトリックス(半角)であり、各成分ごとに異なる値をとる。また $\{u\}_B, \{v\}_B, \{\phi\}_B$ は境界の水平・鉛直・回転変位ベクトルであり、添字 B は左方境界(L)または右方境界(R)の各れがをとる。

したがって、(2)を用いて境界力 $\{F\}_L, \{F\}_R$ を次式のように書き表わせ。

$$\{F\}_L = [L]\{X\}_L, \quad \{F\}_R = [R]\{X\}_R \quad \cdots \cdots \cdots (3)$$

ここで、 $\{X\} = \{x\} \exp(i\omega t), \{F\} = \{F\}_0 \exp(i\omega t)$ 乃是定常振動を考えると、(3)を(1)に代入することにより、次の関係をうる。

$$(-\omega^2[M] + [K] - [L] - [R])\{X\}_0 = \{F\}_0 \quad \cdots \cdots \cdots (4)$$

ところが(4)は入出力の振幅の関係を与えるので、構造物の重心点における(FIG.1参照)水平・回転変位を X, φ とし、頂部に作用する水平力 F および回転モーメント M に対する複素ばね剛性を各々 $K_{xx}, K_{x\phi}$ および $K_{\phi x}, K_{\phi\phi}$ とすると、これら入出力の関係は次式のように表わされよう。

$$\begin{bmatrix} K_{xx} & K_{x\phi} \\ K_{\phi x} & K_{\phi\phi} \end{bmatrix} \begin{bmatrix} X \\ \phi \end{bmatrix} = \begin{bmatrix} F \\ M \end{bmatrix} \quad \cdots \cdots \cdots (5)$$

したがって、F, M が単独に作用したときの変位を $X_1, \phi_1; X_2, \phi_2$ とすると、複素ばね剛性 $K_{xx}, K_{x\phi}, K_{\phi x}, K_{\phi\phi}$ は次の連立方程式の解として得られる。⁴⁾

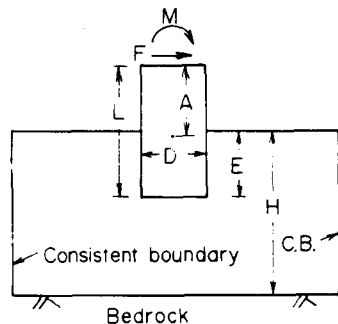


FIG.1 地盤と基礎構造物モデル

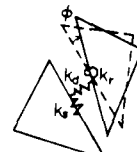


FIG.2 RBS 平面要素

- Tension crack
- - - Yielded spring
- Linear spring

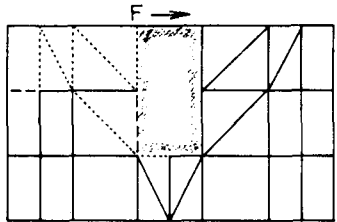


FIG.3 降伏したばねの例

$$\begin{bmatrix} K_{xx} & K_{x\phi} \\ K_{\phi x} & K_{\phi\phi} \end{bmatrix} \begin{bmatrix} X_1 & X_2 \\ \Phi_1 & \Phi_2 \end{bmatrix} = \begin{bmatrix} F & 0 \\ FA & M \end{bmatrix} \quad \dots\dots(6)$$

ただし、Aは作用点と重心までの長さである。さらに、モーメントを発生しないようにFを作用させたときの、水平・回転剛性を K_s および K_ϕ とすると、次式で与えられる。

$$K_s = K_{xx} - \frac{K_{x\phi} K_{\phi x}}{K_{\phi\phi}} \quad \left. \right\} \quad \dots\dots(7)$$

$$K_\phi = K_{\phi\phi} - \frac{K_{x\phi} K_{\phi x}}{K_{xx}} \quad \left. \right\}$$

とくに、非線形地盤では相反作用は成立しないので、一般的には $K_{x\phi} \neq K_{\phi x}$ であり、両者の差はF, Mの大きさに依存する。

3. 数値計算結果 ここでは2次元平面モデルを扱っておるが、奥行幅の長い基礎構造物を対象とした場合に相当する。解析上は奥行幅を1mとしている。また無次元振動数 $a_0 = \omega/V_s$ (ω : 代表長, ω : 円振動数, V_s : 横波の伝播速度) の a_0 は2mとしている。また地盤の剛性は深さとともに漸増させていた。

FIG.3 では基礎の後方に引張破壊が生じておるが、この程度の荷重では前方にすべりは発生していない。FIG.4 以降では K_s, K_ϕ は次式のように実部・虚部に分解されている。

$$K_s = K_{so} (k_1 + i a_0 c_1) \quad \left. \right\} \quad \dots\dots(8)$$

$$K_\phi = K_{\phi o} (k_2 + i a_0 c_2) \quad \left. \right\}$$

ただし、 $K_{so}, K_{\phi o}$ は静的($\omega=0$)の値である。FIG.4 は土の粘性減衰が剛基礎に与える効果を示しているが、 K_s, K_ϕ は減衰定数 η が小さくなるにに対する変動が非常に激しくなる。また K_s に比べて K_ϕ の ω に対する低下は著しくないが、この傾向は Veltessos らや Kausel らの結果なるが、考察は講演時にゆする。

参考文献 1) Lysmer, J. et al., Jour. of EM Div., ASCE, Vol. 95, No. EM4, Aug., 1969, pp. 857-877, 2) Lysmer, J. et al., Jour. of EM Div., ASCE, Vol. 98, No. EM1, Feb., 1972, pp. 85-105, 3) 川井良彦「基礎地盤力学」(土木工学論文集), 第28号, 1979.1, pp. 29-40, 4) Veltessos, A.S. et al., Jour. of SM-F Div., ASCE, Vol. 97, No. SM9, Sep., 1971, pp. 1227-1248, 5) Kausel, E. et al., Jour. of EM Div., ASCE, Vol. 101, No. EM6, Dec., 1975, pp. 771-785.

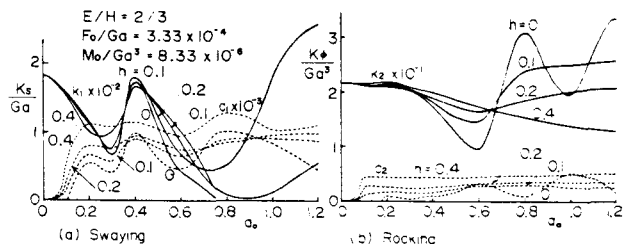


FIG. 4 粘性減衰の効果 (剛基礎)

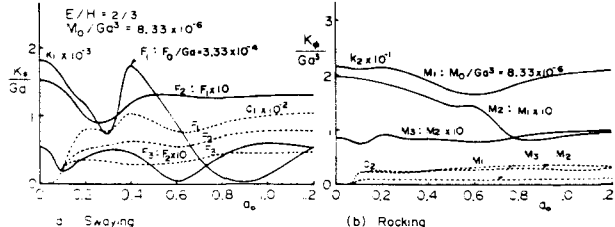


FIG. 5 履歴非線形性の効果 (剛基礎)

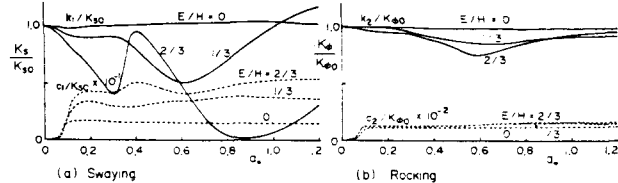


FIG. 6 根入れ効果 (剛基礎)

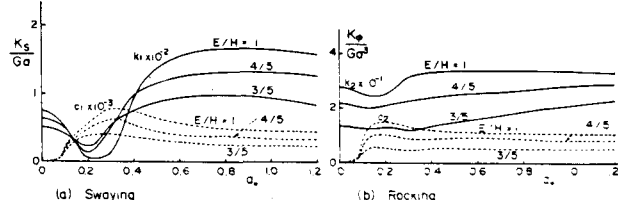


FIG. 7 根入れ効果 (柔基礎)

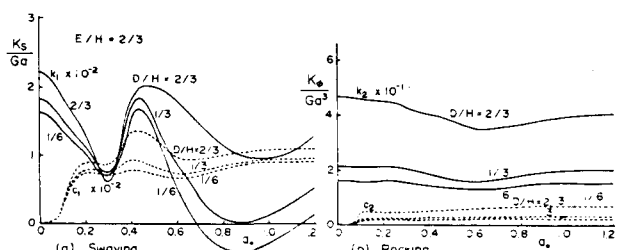


FIG. 8 底面幅の効果 (剛基礎)

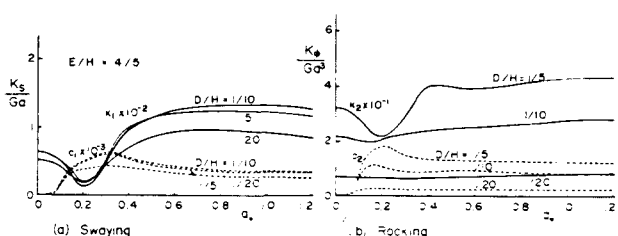


FIG. 9 底面幅の効果 (柔基礎)